

بررسی تنوع ژنتیکی جمعیت گوسفند بلوچی با استفاده از نشانگرهای ریز ماهواره

سعید اسماعیل خانیان^۱، اردشیر نجاتی جوارمی^۲، فضل‌ا... افزار^۳، پیمان دانشیار^۳ و صابر قنبری^۴

چکیده

در این مطالعه به منظور تعیین سطح تنوع ژنتیکی در جمعیت گوسفند بلوچی از ۱۹ جایگاه ریز ماهواره‌ای استفاده شد. نمونه‌های خون کامل از تعداد ۱۵۶ راس گوسفند بلوچی در ایستگاه اصلاح دام شمال شرق کشور (عباس‌آباد- مشهد) تهیه و استخراج DNA به روش استخراج نمکی بهینه شده انجام شد. تمام نشانگرهای مورد استفاده به غیر از نشانگر UNC5C جایگاه‌های مربوطه را تکثیر کردند. محصولات PCR با استفاده از الکتروفورز ژل پای آکریل آمید و اسروشته ساز ۸٪ تفکیک و رنگ آمیزی به روش نیترات نقره سریع انجام شد. فراوانی‌های آللی و ژنوتیپی به روش شمارش مستقیم به دست آمد و برآورد معیارهای مختلف تنوع درون جمعیتی و معیارهای چندشکلی برای هر نشانگر برآورد شد. آزمون تعادل هاردی- واینبرگ نشان داد که این جمعیت به جز در جایگاه OarAE101، در سایر جایگاه‌ها انحراف معنی‌داری از تعادل داشت ($P < 0.005$). دامنه هتروژی‌گوسيتی (تنوع ژنی) برای این جایگاه‌ها بین ۰/۹۳٪ تا ۰/۹۳٪ متفاوت بود. هم‌چنین دو جایگاه BULG5E و BM1329 یک شکل بودند. در مجموع نتایج حاکی از چند شکل بودن اکثر نشانگرهای مورد مطالعه بود که امکان استفاده از آنها را در مطالعات بعدی در این جمعیت تأیید می‌کند.

واژه‌های کلیدی: گوسفند بلوچی، چند شکلی، نشانگرهای ریز ماهواره، هتروژی‌گوسيتی

بخش عمده‌ای از استان خراسان پراکنده بوده و در استان‌های کرمان، اصفهان و یزد نیز پرورش داده می‌شود. بدین ترتیب ضرورت انجام مطالعات ژنتیکی جدید در این جمعیت به کمک نشانگرهای مولکولی مناسب از جمله ریز ماهواره‌ها به علل ذکر شده و به منظور شناسائی منابع ژنتیکی گوسفندان ایران و هم‌چنین جهت بالا بردن راندمان تولید مثل از طریق انتخاب

مقدمه
گوسفند بلوچی به سبب ویژگی‌های ژنتیکی خاص از جمله دوقلوزایی بالا و نیز به سبب پراکندگی گسترده در منطقه شرق کشور، عمدۀ ترین نژاد گوسفند منطقه شرق کشور به شمار می‌آید. ۲۹٪ از گوسفندان ایران را این نژاد تشکیل می‌دهد (۲). این نژاد در کلیه شهرستان‌های استان سیستان و بلوچستان و

۱. استادیار بیوتکنولوژی، مؤسسه تحقیقات علوم دامی کشور، کرج
۲. استادیاران ژنتیک و اصلاح نژاد دام، مؤسسه تحقیقات علوم دامی کشور، کرج
۳. کارشناس ارشد علوم دامی، دانشکده کشاورزی، دانشگاه زابل
۴. کارشناس ارشد ژنتیک و اصلاح نژاد دام، دانشکده کشاورزی، دانشگاه زنجان

BM1329 را گزارش نمودند(۱۳). مولسانت و همکاران ۴۷۱U جایگاه‌های Bulge5، LSCU43U، BMS2508 و 300U را گزارش کردند(۱۶).

مواد و روش‌ها

گله مورد مطالعه، گله شماره دو مرکز اصلاح نژاد شمال شرق کشور (عباس آباد) می‌باشد که در مجموع شامل حدود ۵۰۰ راس گوسفند بلوچی است.

نمونه‌های خون کامل به میزان ۱۰ میلی‌لیتر از ورید و داج و با استفاده از لوله خلاء دار ۵ میلی‌لیتری حاوی ماده ضد انعقاد Na₂EDTA از تعداد ۸۵۵ رأس میش و ۱۵ راس قوچ و ۵۶ راس بره تهیه گردید. نمونه‌گیری به طور تصادفی صورت گرفت.

استخراج DNA به روش استخراج نمکی میلر و همکاران (۱۴) انجام شد. برای این منظور دیواره سلولی توسط بافر جدا کننده ۵mM MgCl₂، ۰.۳۲ M Sucrose، ۱% Triton 100X، ۱۰ mM Tris-HcL، ۱۰ mM Tris-HCL (PH=7.5)، ۱۰ mM NaCl₂، ۰.۳۲ M OarAE101 و ۰.۳۲ M OarFCB304 را در ۱۲ خانواده برولا-مرینو شامل ۳۷۹ نتاج ماده بررسی کردند(۱۵). در این تحقیق دو نشانگر ریزماهواره OarHHO55 و OarAE101 با این زن معرفی شدند. یکی از محققین جایگاه کننده هسته آزاد شد (۱۶). بررسی کروموزوم با استفاده از آنزیم پروتئیناز K جدا شده و DNA خالص به دست آمد. کمیت و کیفیت DNA استخراج شده با دو روش ژل اگارز ۸٪ و اسپکتروفتومتر بررسی شد. در انتخاب نشانگرها سعی شد جایگاه‌های زنی میکروساتلاتیت‌ها با توجه به نتایج مطالعات دیگران انتخاب گردند. با توجه به حضور یک زن بزرگ اثر مؤثر بر صفت دو قلوزایی بر روی کروموزوم شماره شش، تقریباً نیمی از جایگاه‌ها (۱۰ جایگاه) روی این کروموزوم در نظر گرفته شدند. جایگاه‌های مذکور در فاصله ۱/۰ تا ۰/۵ سانتی مترگانی در دو طرف مکان احتمالی زن مزبور انتخاب گردیدند. مشخصات جایگاه‌های مورد مطالعه در جدول ۱ آورده شده است. توالی آغاز گرهای لازم برای تکثیر جایگاه‌های انتخاب شده براساس مطالعات دیگران تهیه و به شرکت‌های MWG، TIB، آلمان سفارش داده شد.

واکنش‌های زنجیره‌ای پلیمراز (PCR) بر طبق روش استاندارد

به وسیله مارکرها کاملاً محسوس می‌باشد. مطالعات در ایران کارآمدی نشانگرهای ریزماهواره‌ای را برای انجام مطالعات ژنتیک جمعیت در گوسفند به اثبات رسانده است(۱، ۴، ۵، ۶ و ۷). این نشانگرها به سبب چند شکلی بالا، گستردگی در سرتاسر ژنوم، کم هزینه بودن، ژنتیپ‌یابی آسان و مهم‌تر از همه توارث همبارز امکان انجام انواع مطالعات ژنتیکی ساده، سریع و دقیق‌تر را فراهم آورده‌اند. در این مطالعه سعی گردیده است تا با تعیین ویژگی‌ها و خصوصیات ژنتیکی این گوسفندان در ۱۹ جایگاه ریزماهواره چندشکل ترین این جایگاه‌ها شناسایی و با برآورد معیارهای مختلف، تنوع درون جمعیتی (تنوع زنی) و نیز میزان چندشکلی جایگاه‌های مذکور در جمعیت گوسفند بلوچی مورد مطالعه تعیین گردد و با معرفی جایگاه‌های چند شکل مناسب زمینه برای مطالعات ژنتیکی بعدی فراهم شود. این مطالعه روی جمعیت گوسفند بلوچی ایستگاه اصلاح نژاد شمال شرق کشور (عباس آباد-مشهد) به سبب داشتن شجره قابل اطمینان وجود رکوردهای متفاوت برای صفات تولیدی انجام شد.

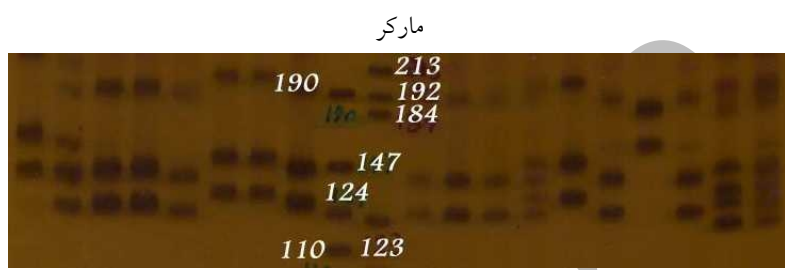
مونت‌گومری و همکاران تفرق زن B Fec در ۱۲ خانواده برولا-مرینو شامل ۳۷۹ نتاج ماده بررسی کردند(۱۷). در این تحقیق دو نشانگر ریزماهواره OarAE101 و OarFCB304 پیوسته با این زن معرفی شدند. یکی از محققین جایگاه کننده هسته آزاد شد (۱۸). استون و همکاران جایگاه BMS460 را ۹ آللی گزارش نمودند و محل آن را نیز کروموزوم شماره ۳ تعیین کردند(۱۹). یکی دیگر از محققین فراوانی نشانگرها میکروساتلاتیت OarAE101 و BM1329 را در گوسفند برولا-مرینوی گوسفندان پیوسته با زن FecB در ۱۰ آلل و ۴ میکروساتلاتیت در ۱۰ آلل بودند(۲۰). فرید و همکاران تنوع ژنتیکی ۲۷۵ گوسفند از ۱۰ نژاد را با استفاده از ۱۰ جایگاه ریزماهواره ارزیابی نمودند(۲۱). نتایج نشان داد در نژادهایی که تحت انتخاب شدید قرار داشته‌اند کاهش مؤثری در تنوع ژنتیکی جایگاه‌های مورد مطالعه وجود ندارد. مادوکس و همکاران جایگاه‌های MAF64، BMO143، OarHHO55، MCMA26، OarC26،

جدول ۱. مشخصات پرایم‌ها و جایگاه‌های ژنی مورد مطالعه

نام جایگاه	توالی آغازگرها (5'-3')	کروموزوم	واحد تکرار شونده	مأخذ
300U	GGG GGT TCC TTG TAG GTT TGT G GGA AGT GCA GAG AGT CCC ATA C	6	-	17
LSCV0043	CCA GAA TAT AGA GTT TTG TCA AG GCC TGA TTT GTA TTT GTA TGA G	6	-	17
OarHH55	GTT ATT CCA TAT TCT TTC CTC CAT CAT AAG C CCA CAC AGA GCA ACT AAA ACC CAG C	6	-	16
BMS2508	TTT CTG GGA TTA CAA AAT GCT C TTT CTT AGG GGA GTG TTG ATT C	6	(TG)14	17
BM143	ACC TGG GAA GCC TCC ATA TC CTG CAG GCA GAT TCT TTA TCG	6	(TG)16	6
471U	CTA CAA TAA ATA ATG AGG TGA AA TGA GTA GAG ACA AAG CTA TAA A	6	-	17
OarAE101	TAA GAA ATA TAT TTG AAA AAA CTG TAT CTC CC TTC TTA TAG ATG CAC TCA AGC TAG G	6	(CA)12	16
BM1329	TTG TTT AGG CAA GTC CAA AGT C AAC ACC GCA GCT TCA TCC	6	(AC)18	6
BULGE5E	CAC AAA CAT TCG GAC ATG ACC TGA GGA GGG CAC ATC CAT TG	6	-	17
BM6438	TTG AGC ACA GAC ACA GAC TGG ACT GAA TGC CTC CTT TGT GC	1	(GT)14	6
BM6444	CTC TGG GTA CAA CAC TGA GTC C TAG AGA GTT TCC CTG TCC ATC C	2	(GT)16	6
BMS460	TGC CCC ATA GTG TAG TGC TC GCC AGC AGA GAA TTG TAG CA	3	(AC)20	21
BMS678	ACC ATC TAC TGT GCT ATG GCT T GCA GAA ACA CAA TAC TCA GTG C	2	(GT)16	21
MAF64	AAT AGA CCA TTC AGA GAA ACG TTG AC CTC ATG GAA TCA GAC AAA AGG TAG C	1	(TG)13	22
McMA2	TCA CCC AAC AAT CAT GAA AC TTA AAT CGA GTG TGA ATG GG	13	(AC)28	14
McMA26	TCT CTG CTT TCC AGC CTT ATT C AGA GCT TTT AGG ACA GCC ACC	18	(GT)31	14
OarFCB304	CCC TAG GAG CTT TCA ATA AAG AAT CGG CGC TGC TGT CAA CTG GGT CAG GG	7	(TC)6GC [(TC)4GC]2 (TC)11(AC)15	7
OarCP26	GGC CTA ACA GAA TTC AGA TGA TGT TGC GTC ACC ATA CTG ACG GCT GGT TCC	4	(CA)11CG(CA) 15	11
UNC5C	ATC CTC ACC CTT CAA ACA G CTG GGG AGT TTT CTC TGA C	6	-	17



شکل ۱. الگوی باند برای جایگاه MCMA2



شکل ۲. الگوی باند برای جایگاه BMS460

(ne) با استفاده از نرم افزار POPGENE و محتوای اطلاعات چندشکلی یا Polymorphic Information Content (PIC) با استفاده از نرم افزار Het برآورد گردید.

نتایج و بحث

تکثیر در تمامی جایگاهها به جز جایگاه UNC5C موفقیت آمیز بود. شکل ۱ و ۲ الگوی باندی تکثیر جایگاه‌های MCMA2 و BMS460 را نشان می‌دهد. علل احتمالی عدم تکثیر در جایگاه UNC5C را می‌توان به وجود جهش در یک یا هر دو مکان اتصال آغازگرها در جمعیت مورد مطالعه ذکر کرد. مولسان و همکاران (۲۰۰۱) تعداد آلل این جایگاه را ۷ آلل گزارش نمود(۱۶). به جز جایگاه OarAE101، سایر جایگاه‌ها با هر دو آزمون مربع کای و نسبت درست نمایی انحراف معنی داری از تعادل‌هارדי واینبرگ نشان دادند ($P < 0.005$). این وضعیت برای گله تحت انتخاب کاملاً منطقی به نظر می‌رسد. مهمان نواز و همکاران همخوئی در این گله را بسیار پائین گزارش نمودند و علت آن را وجود انتخاب و جفت‌گیری کترول شده عنوان کرده‌اند(۳). جدول ۲ نتایج حاصل از هرجایگاه شامل دامنه اندازه

در دستگاه ترموسایکلر Biometra انجام گردید. غلظت اجزای واکنش به شرح زیر می‌باشد:

۵۰ نانوگرم از DNA ژنومی گوسفند، ۲۰۰ میکرومولار از مخلوط dNTPs، ۰/۲۵ میکرومولار از هر آغازگر، بافر PCR با غلظت ۱X و یک واحد از آنزیم Taq پلیمراز (ساخت شرکت Fermentase). فرآوردهای PCR با استفاده از ژل آکریل آمید واسرشهتساز ۸٪ تفکیک شد. ژل‌ها به روش رنگ آمیری نیترات نقره سریع رنگ آمیزی شد (۱۹). اندازه باندهای به دست آمده از روی نشانگرهای اندازه (نشانگرهای شماره VII و VIII) ساخت شرکت Roche آلمان) تعیین و ژنوتیپ هر فرد در هر جایگاه مستقیماً از روی ژل به دست آمد. فرآونی‌های ژنوتیپی و آللی به روش شمارش مستقیم تعیین گردید. جایگاه‌های مختلف از نظر تعادل‌هارדי - واینبرگ با دو آزمون مربع کای و نسبت درست نمایی (۱۲) و با استفاده از نرم افزار POPGENE، آزمون قرار گرفتند (۲۱). هتروزیگوستی مورد انتظار ناریب، (۱۷) به عنوان معیار تنوع درون جمعیتی با استفاده از نرم افزار Het برآورد گردید (۱۷ و ۱۸). همچنین معیارهای مختلف چند شکلی مانند تعداد آلل واقعی (n)، تعداد آلل موثر

جدول ۲. تعداد آلل، معیارهای چند شکلی و تعداد آلل واقعی و موثر در جایگاه‌های مورد مطالعه

جایگاه	دامنه اندازه آللی (bp)	ناریب (He)	محتوای اطلاعات چند شکلی (PIC)	تعداد آلل واقعی (n)	تعداد آلل موثر (ne)	هتروزیگوستی مورد انتظار
300U	126-159	0/85	0/84	9	6/89	
LSCV0043	113-142	0/72	0/68	6	3/56	
QarHH55	97-118	0/73	0/68	7	3/68	
BMS2508	153-194	0/71	0/66	6	3/48	
BM143	105-119	0/73	0/69	6	3/68	
471U	192-194	0/50	0/37	2	1/99	
OarAE101	102-112	0/10	0/10	2	1/11	
BM1329	170	-	-	1	1	
BULGE5E	133	-	-	1	1	
BM6438	271-322	0/89	0/88	12	8/85	
BM6444	120-178	0/93	0/92	15	14	
BMS460	124-189	0/91	0/91	18	11/4	
BMS678	97-181	0/85	0/83	10	6/4	
MAF64	109-151	0/88	0/87	12	8/7	
McMA2	159-199	0/90	0/90	12	10	
McMA26	184-218	0/91	0/90	12	10	
OarFCB304	116-176	0/85	0/83	10	6/6	
OarCP26	154-196	0/91	0/90	13	10/3	
UNC5C	-	-	-	-	-	

اللی)، تعداد آلل واقعی (n) و موثر (ne)، میزان اطلاعات چند شکلی (PIC) و هتروزیگوستی مورد انتظار ناریب (He) را نشان می‌دهد. دامنه اندازه آللی برخی از جایگاه‌های مورد مطالعه همچون BM1329 خارج از محدوده‌های گزارش شده در مطالعات قبلی بود. واین امر احتمالاً به خاطر تفاوت جمعیت حاضر از جمعیت‌های مورد مطالعه دیگران است مادوکس و همکاران دامنه‌اللی جایگاه BM1329 bp را ۱۵۶-۱۷۰ و Chu (۲۰۰۲) دامنه‌اللی همین جایگاه را ۱۶۰-۱۸۰ bp and Wang گزارش نموده‌اند (۱۳).

جایگاه‌های OarAE101 و BM6444 به ترتیب بیشترین و کمترین هتروزیگوستی مورد انتظار (۰/۹۳ و ۰/۹۰) و تعداد آلل موثر (۱۴ و ۱۱) را داشتند (جدول ۲). اما از نظر تعداد آلل واقعی جایگاه BMS460 با ۱۸ آلل و جایگاه‌های OarAE101 و 471U با دو آلل به ترتیب بیشترین و کمترین تعداد آلل واقعی را دارا بودند (بدون در نظر گرفتن جایگاه‌های تک شکل).

مولسانت و همکاران این جایگاه را چند شکل گزارش نمودند. جایگاه‌های Buge5E و BM1329 یک شکل بودند

این جمعیت و سایر جمعیت‌های گوسفند ایرانی را دارا می‌باشند و می‌توان از آنها در مطالعاتی مانند مکان یابی ژن‌های مهم اقتصادی مانند ژن دوقلوزاوی در همین جمعیت استفاده نمود. لازم به ذکر است این مطالعه با به کارگیری ۱۹ جایگاه ریز ماهواره‌ای و ۱۵۶ نمونه اشکال عمدۀ در سایر مطالعات جمعیتی با استفاده از نشانگرهای DNA، یعنی کم بودن تعداد جایگاه و نمونه‌های مورد مطالعه را برطرف نموده و بنابراین می‌توان با اطمینان بالاتری به نتایج حاصل از آن استناد نمود و با اضافه نمودن جایگاه‌های جدید به این مطالعه بر اعتبار نتایج آن افزود. در نهایت می‌توان گفت این مطالعه بار دیگر کارآمدی ریز ماهواره‌ها را به عنوان نشانگر برگزیده برای مطالعات جمعیتی تأیید می‌نماید.

سپاسگزاری

این تحقیق در آزمایشگاه ژنتیک مولکولی بخش بیوتکنولوژی مؤسسه تحقیقات علوم دامی کشور انجام شد. از همراهی و همکاری تمامی دوستان و همکاران در آزمایشگاه بخش بیوتکنولوژی مؤسسه تحقیقات علوم دامی کشور تشکر می‌نمایم.

بیشترین و کمترین PIC نیز به ترتیب مربوط به جایگاه‌های OarAE101 (۰/۹۲) و BM6444 (۰/۱۰) بود. مادوکس و همکاران مقدار PIC را برای جایگاه‌های BM6444 به میزان ۰/۸۸ گزارش نمودند(۱۳).

متوسط هتروزیگوستی مورد انتظار نالریب Nei و متوسط PIC در تمام جایگاه‌های مورد مطالعه با و بدون احتساب جایگاه‌های تک شکل بالا می‌باشد (۰/۶۹، ۰/۷۵ و ۰/۷۷). در اکثر مطالعات این مقادیر برای جایگاه‌های ریز ماهواره‌ای معمولاً بیش از ۰/۸ ذکر گردیده است، مادوکس (۱۰، ۸، ۱۱ و ۱۳) که نشان دهنده وجود چند شکلی بالا در این نشانگرها در مقایسه با سایر نشانگرهاست.

هتروزیگوستی بالای جایگاه‌های مورد مطالعه در جمعیت گوسفند بلوچی حاکی از حفظ تنوع بالای درون جمعیتی علی‌رغم انجام کارهای اصلاح نژادی بر روی این گله به علل شیوه‌های مدیریتی و اصلاحی برنامه ریزی شده می‌باشد که توانسته است میزان همخونی را کاهش و تنوع را در سطح قابل قبولی حفظ نماید(۳)

مطالعه حاضر نشان داد که اکثر ریزماهواره‌های مورد مطالعه با چند شکلی بالا و مناسب شرایط استفاده در مطالعات آتی در

منابع مورد استفاده

- بنابازی، م.ح. ۱۳۸۱. بررسی تنوع ژنتیکی در درون و بین پنج جمعیت گوسفند ایرانی با استفاده از نشانگرهای ریزماهواره. پایان‌نامه کارشناسی ارشد علوم دامی، دانشکده کشاورزی، دانشگاه تهران.
- توكلیان، ج. ۱۳۷۸. نگرشی بر ذخایر ژنتیکی دام و طیور بومی ایران. مؤسسه تحقیقات علوم دامی کشور، کرج.
- مهران‌نواز، ی.، ر. واعظ ترشیزی، ع. صالحی و ع. سوریده. ۱۳۸۰. همخونی و اثر آن بر صفات تولیدی در گوسفند نژاد بلوچی. اولین سمینار ژنتیک و اصلاح نژاد دام، طیور و آبزیان کشور. ۱-۲ اسفندماه ۱۳۸۰. دانشگاه تهران.
- Arranz, J.J., Y. Bayon and F. San Primitivo. 2001. Differentiation among spanish sheep breeds using microsatellites. *Genet. Selection and Evol.* 33: 529-542.
- Arnyasi, M., A. Zsolnai, L. Fesus and A. Javor. 1999. The frequency of alleles of the OarAE101 and BM1329 microsatellite markers linked to the FecB gene in the Hungarian prolific Merino sheep. Scientific conference at the Hungarian Acad. of Sci. 48:708-710.
- Buchanan, F.C., L.J. Adams, R.P. Littlejohn, J.F. Maddox and A.M. Crawford. 1994. Determination of evolutionary relationships among sheep breeds using microsatellites. *Genom.* 22: 397-403.
- Buchanan F.C. and A.M. Crawford. 1993. Ovine microsatellites at the OarFCB11, OarFCB128, OarFCB193, OarFCB266 and OarFCB304 loci. *Anim. Gene.* 24:145.
- Buchanan F.C. and T.D. Thue. 1998. Intrabreed polymorphic information content of microsatellites in cattle and sheep. *Can. J. Anim. Sci.* 78:425-428.

9. Chu, Mx, J.Z.Wang and A.G. Wang. 2002. Genetic polymorphisms of five microsatellite loci in small Tail Han sheep. Chines J. Anim. Sci. 29:502-506
10. Ede, A.J., C.A. Pierson and A.M. Crawford. 1995. Ovine microsatellites at the OarCP9, OarCP16, OarCP20, OarCP21, OarCP23 and OarCP26 loci. Anim. Genet. 26:129-131.
11. Farid, A., E. O'Reilly, C. Dollard and Jr. C.R. Kelsey. 2000. Genetic analysis of ten sheep breeds using microsatellite markers. Can. J. Anim. Sci. 80: 9-17.
12. Hedrick, P. W. 1999. Genetic of Populations. Second ed., Jones and Bartlett Pub., Sudbury, MA, USA.
13. Maddox, J.F., K.P. Davis, A.M. Crawford, D.J. Hulme, D.V. Viaman, E.O. Cribu, B.A. Ferking, K.J. Beh, N. Kang, C.D. Riffkin, S.S. Moore, K.G. Dodds, J.M. Lumsden. 2001. An enhanced linkage map of the sheep genome comprising more than 1000 loci. Genome Res. 11:1275-1289.
14. Miller, S.A., D.D. Dykes and H.F. Polesky. 1988. A simple salting out procedure for extracting DNA from human nucleated cells. Nucleic Acids Res. 16:1215.
15. Montgomery, G.W., A.M. Crawford, J.M. Penty, A.J. Ede, H.M. Henry, C.A. Pierson, E.A. Lord and S.M. Galloway. 1993. The ovine booroola fecundity gene (FecB) is linked to markers from a region of human chromosome 4q. Nature Gene. 4:410-414.
16. Mulsant, P., F. Lecerf, S. Fabre, L. Schibler, P. Monget, I. Lannebic, C. Pisseelet, J. Riquet, D. Monniaux, I. Callebaut, E. Cribu, J. Thimonier, J. Teyssier, L. Bodin, Y. Cognie, N. Chitour and E. Jean-Michel. 2001. Mutation in bone morphogenetic protein receptor-IB is associated with increased ovulation rate in booroola merino ewes. PNAS 98:5104-5109.
17. Nei, M. 1978. Estimation of average heterozygosity and genetic distance from a small number of individuals. Gene. 89:583-590.
18. Ott, J. 1989. Program HET. Version 1.10, Utility programs for analysis of genetic linkage. Rockefeller University. New York.
19. Sanguinetti, C.J., E.D. Neto and A.J.G. Simpson. 1994. Rapid silver staining and recovery of PCR product separated on polyacrylamide gels. Biotechniques 17:915-919.
20. Stone, R.T., J.C. Pulido, G.M. Duyk, S.M. Kappes, J.W. Keele and C.W. Beattie. 1995. A small-insert bovine genomic library highly enriched for microsatellite repeat sequences. Mammalian Genome 6:714-724.
21. Yeh, F.C., R. Yang and C.W. Boyle. 1999. POPGENE. Version 1.31, Microsoft Window-based Freeware for Population Genetic Analysis, University of Alberta, Edmonton, Canada.